

京都大学 工学部 正員 岩垣雄一  
京都大学 大学院 学生員 平山秀夫

**①はじめに:** 昨年の海岸工学講演会で、沈降速度を有する固体粒子が微小振幅波理論で表現される激動流体中を運動する場合、水平方向にはその水粒子速度と同じ速度で、鉛直方向には水粒子速度と静水中の沈降速度との和の速度で運動すると仮定すれば、固体浮遊粒子の1周期平均の沈降速度が、静水中の沈降速度に等しくならないこと、すなわち、浮遊粒子が鉛直方向に静水中での沈降速度以外に見かけ上質量輸送速度に相当する付加残留速度（浮遊粒子の質量輸送と言った。）を有する運動するとを理論的に示し、かつまた不充分である、たゞ若干の実験例を示し定性的な説明を加えた。ここではさらに Tadjbaksh & Keller の有限振幅重複波理論の式3近似を用いて同様な理論計算を行なうと同時に、数多くの実験を行ない、特に滑面床の場合における浮遊粒子の沈降速度の変化を定量的に調べようとするものである。

**②実験装置および方法:** 実験は長さ5m、幅50cm、高さ60cmの鋼製片面ガラス張り水槽を用いて行なった。水槽の一端は鉛直壁とし、これより2.5mの位置にフラッタ一式造波機を設置した。水槽底面には滑面にするため鏡面を敷いた。実験方法は、ほぼ完全な重複波を発生させ定常状態になったと思われる時点から浮遊粒子（スケロール樹脂、比重1.02、粒径約2mm）を所定の位置に投入し、ストロボを用いて浮遊粒子の運動を撮影した。発生させた重複波は水深 $H=30\text{ cm}$ で節の数が3つとなるように周期 $T=1.14\text{ sec}$ 、波長 $L=166.7\text{ cm}$ と固定し、波高と測定点を適当に変えた。なお、ストロボ写真の実例を写真-1に示す。

**③浮遊粒子の運動への沈降速度の影響:** 以下沈降速度を有する浮遊粒子の運動についての若干の理論的考察を行ない、実験結果と比較検討する。今、前述のような仮定の下に浮遊粒子が重複運動中を運動している場合を考えて、その1周期における平均的位置を $(\bar{x}, \bar{z})$ とすると、その地点での浮遊粒子の運動を表わす浮遊粒子の速度 $u(\bar{x}, \bar{z}, t)$ および $w(\bar{x}, \bar{z}, t)$ は Tadjbaksh & Keller の式3次近似を用いて次のように表わされる。なお、座標軸は反射板の位置を原点として、静水面上造波板に向かい正軸を、静水面から鉛直上方に負軸をとる。

$$\begin{aligned} u = & -ka c \left\{ \cosh kh(k+\bar{z}) / \sinh kh \right\} \sin at \cdot \sin k\bar{z} - 1.5 (\pi a/L)^2 c \\ & \times \left\{ \cosh 2kh(k+\bar{z}) / \cosh 2kh \right\} (1 - \coth^4 kh) \cdot \sin 2at \cdot \sin 2k\bar{z} \\ & + (ka)^3 (\pi/L)^2 \left\{ 3\beta_{31} \sin at \cdot \sin 3k\bar{z} \cdot \cosh 3kh(k+\bar{z}) - \beta_{31} \sin 3at \right. \\ & \left. \times \sin k\bar{z} \cdot \cosh kh(k+\bar{z}) - 3\beta_{33} \sin 3at \cdot \sin 3k\bar{z} \cdot \cosh 3kh(k+\bar{z}) \right\} \quad (1) \end{aligned}$$

$$\begin{aligned} w = & -ka c \left\{ \sinh kh(k+\bar{z}) / \sinh kh \right\} \sin at \cdot \cos kh\bar{z} + 1.5 (\pi a/L)^2 c \\ & \times \left\{ \sinh 2kh(k+\bar{z}) / \cosh 2kh \right\} (1 - \coth^4 kh) \cdot \sin 2at \cdot \cos 2k\bar{z} \\ & - (ka)^3 (\pi/L)^2 \left\{ 3\beta_{31} \sin at \cdot \cos 3k\bar{z} \cdot \sinh 3kh(k+\bar{z}) - \beta_{31} \sin 3at \right. \\ & \left. \times \cos k\bar{z} \cdot \sinh kh(k+\bar{z}) - 3\beta_{33} \sin 3at \cdot \cos 3k\bar{z} \cdot \sinh 3kh(k+\bar{z}) - w_f \right\} \quad (2) \end{aligned}$$

ここで、 $c = (gL/\pi^2 \tanh 2kh/L)^{1/2}$ 、 $\beta_{31}$  および  $\beta_{33}$  は  $kh$  の1次関数、  
 $a = H/2 - 1/(0.24 \cdot (\pi/L)^2 H^3 (27 \coth^6 kh + 27 \coth^4 kh + 96 \coth^2 kh - 63 + 11 \tanh kh))$

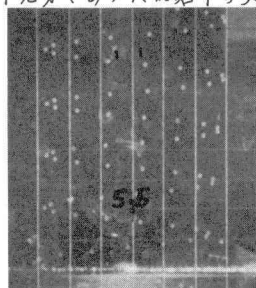


写真-1 ストロボ写真の実例

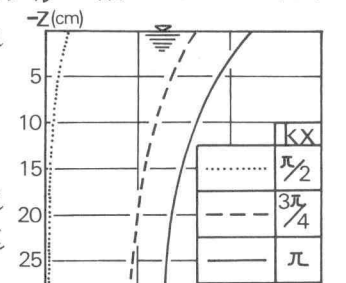


図-1  $\bar{W}/W_f$  の鉛直分布(理論値)

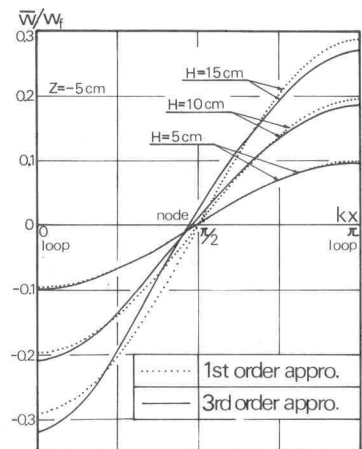


図-2 微小振幅波と有限振幅波理論による  $\bar{W}/W_f$  の比較

$+ b \tanh^4 kh$ ),  $H$  は重複波の波高,  $h$  は水深,  $k = 2\pi/\lambda$ ,  $a = \frac{2\pi}{\lambda} T$ ,  $w_f$  は浮遊粒子の静水中の沈降速度である。

次に任意時刻  $t$  における浮遊粒子の位置を  $(\bar{x} + \xi, \bar{z} + \eta)$  とすると、その地点での浮遊粒子の速度  $\frac{dx}{dt}$  および  $\frac{dz}{dt}$  は、Taylor 展開して  $\xi, \eta$  の 1 次の項までとると次式のようになる。

$$\frac{dx}{dt} = u(\bar{x} + \xi, \bar{z} + \eta, t) = u/\bar{x}\bar{z} + \xi \frac{\partial u}{\partial x}/\bar{x}\bar{z} + \eta \frac{\partial u}{\partial z}/\bar{x}\bar{z} \quad (3)$$

$$\frac{dz}{dt} = w(\bar{x} + \xi, \bar{z} + \eta, t) = w/\bar{x}\bar{z} + \xi \frac{\partial w}{\partial x}/\bar{x}\bar{z} + \eta \frac{\partial w}{\partial z}/\bar{x}\bar{z} \quad (4)$$

次に近似では(3)および(4)式の  $\xi, \eta$  項以下を省略して、 $\frac{dx}{dt} = u/\bar{x}\bar{z}$ ,  $\frac{dz}{dt} = w/\bar{x}\bar{z}$  とし、これらより  $\xi, \eta$  を求める。次にこれらより、 $\dot{\xi}, \dot{\eta}$  を(3)および(4)式に代入して  $\frac{d\xi}{dt}$  および  $\frac{d\eta}{dt}$  の次式近似を求める。 $\frac{d\xi}{dt}$  および  $\frac{d\eta}{dt}$  は浮遊粒子の速度を表わすから、これら  $\dot{\xi}, \dot{\eta}$  の値の 1 周期平均をとれば、それそれを  $\bar{U}$ 、水平方向のそれを  $\bar{W}$ 、鉛直方向のうち静水中の沈降速度を差引いたそれを  $\bar{W}$  とはすれば、若干の計算の結果次のようく表現される。

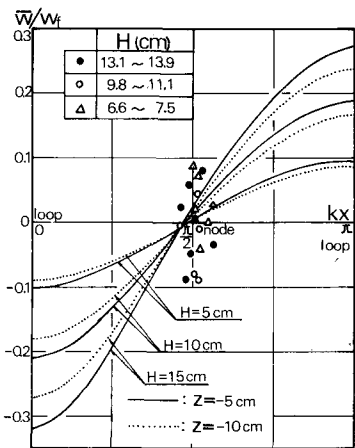
$$\begin{aligned} \bar{U} &= \frac{\bar{H}}{L} \cdot \left[ \sinh kh(\bar{z} + kh)/\sinh kh \right] \cdot \sin k\bar{z} - \left( \frac{3k}{2a} \right)^2 C \cdot \left\{ \sinh 2kh(k + \bar{z})/\cosh 2kh \right. \\ &\quad \times \left( 1 - \coth^4 kh \right) \cdot \sin 2k\bar{z} - (ka)^3 \left( \frac{g}{a} \right)^2 \left[ -9k/a \cdot \beta_3 \sin 3k\bar{z} \cdot \sinh 3k(k + \bar{z}) \right. \\ &\quad \left. + k/3a \cdot \beta_3 \cdot \sin 3k\bar{z} \cdot \sinh 3k(k + \bar{z}) + (3k/a) \beta_3 \cdot \sin 3k\bar{z} \cdot \sinh 3k(k + \bar{z}) \right] \right] \quad (5) \end{aligned}$$

$$\begin{aligned} \bar{W} &= -\frac{\bar{H}}{L} \cdot \left[ \cosh kh(\bar{z} + kh)/\sinh kh \right] \cdot \cos k\bar{z} - \left( \frac{3k}{2a} \right)^2 C \cdot \left\{ \cosh 2kh(k + \bar{z})/\cosh 2kh \right. \\ &\quad \times \left( 1 - \coth^4 kh \right) \cdot \cos 2k\bar{z} + (ka)^3 \left( \frac{g}{a} \right)^2 \left[ -9k/a \cdot \beta_3 \cos 3k\bar{z} \cdot \cosh 3k(k + \bar{z}) \right. \\ &\quad \left. + k/3a \cdot \beta_3 \cdot \cos 3k\bar{z} \cdot \cosh 3k(k + \bar{z}) + (3k/a) \beta_3 \cdot \cos 3k\bar{z} \cdot \cosh 3k(k + \bar{z}) \right] \right] \quad (6) \end{aligned}$$

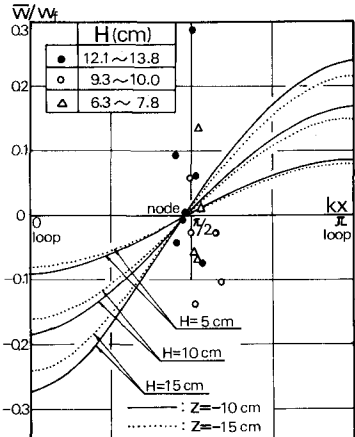
以上の(5)および(6)式中の——線部分が微小振幅波理論による結果である。以下では、(6)式のみの検討を行なう。図-1 は  $H = 10\text{ cm}$  の場合における  $\bar{W}/w_f$  の鉛直分布で、縦軸に静水面からの距離、横軸に  $\bar{W}/w_f$  をとり、 $kx = \pi/2, 3\pi/4, \pi$  の場所での理論値を示したものである。この図から残留速度は水表面に近い程大きくなっていることがわかる。図-2 は  $Z = -5\text{ cm}$  ( $kz = -0.19$ ) の場合における(6)式と微小振幅波理論による結果をそれぞれ波高別に比較したもので、横軸は反射板からの距離をとる、縦軸には  $\bar{W}/w_f$  をとって示してあるが、両者の差異はほとんどないことが明らかであろう。

図-3 (a), (b), (c) は(6)式の理論結果と実験結果とを比較したもので、縦軸に  $\bar{W}/w_f$ 、横軸に反射板からの距離をとって波高別に示したものである。(a), (b) および (c) はそれぞれ  $Z \approx -5, -15, -25\text{ cm}$  の場合における結果であるが、図中左の 2 種類の理論値を示したのは、実験値の方がこれら間に分布するからである。これらの図から明らかなように、実験値は筋近傍のみしかなく、かなり散乱しているが、それらの平均をとると、筋のところではほぼ 0 の値をとるといつて結果が一致するようである。しかし、腹付近の実験値がないのでこのような理説の妥当性を十分検討するわけにはゆかなかった。全般的に、実験値の  $\bar{W}/w_f$  は波高のいかんにかかわらず、かなりのバラツキがあるが、表面付近と底面付近とではバラツキの分布が若干異なっているよう見受けられる。このことは底質の浮遊との関連において重要なように思われる。浮遊粒子の水平方向の移動特性とともに詳しく述べる。

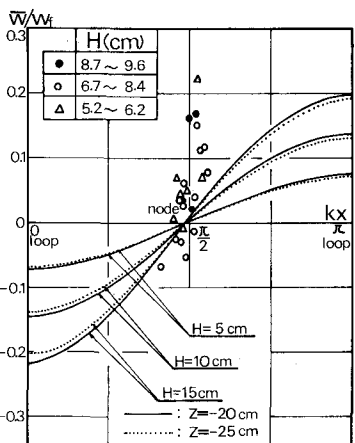
最後に本研究は文部省科学研究所による研究の一部であることを記すとともに、実験に協力いただいた中尾成邦君に心から謝意を表する。\* 当時工学部学生（現在運輸省第4港湾建設局勤務）



(a)  $\bar{W}/w_f$  の理論値と実験値の比較  
( $Z \approx -5\text{ cm}$ )



(b)  $\bar{W}/w_f$  の理論値と実験値の比較  
( $Z \approx -10\text{ cm}$ )



(c)  $\bar{W}/w_f$  の理論値と実験値の比較  
( $Z \approx -15\text{ cm}$ )